

УДК 553.491(571.61)

## ПЕРСПЕКТИВЫ ПОПУТНОЙ ДОБЫЧИ ПЛАТИНОИДОВ ИЗ РОССЫПЕЙ ЗОЛОТА ВЕРХНЕГО ПРИАМУРЬЯ (АМУРСКАЯ ОБЛАСТЬ, РОССИЯ)

*B. A. Степанов, A. B. Мельников*

Амурский комплексный научно-исследовательский институт ДВО РАН, г. Благовещенск  
E-mail: amurknii@inbox.ru

Рассмотрена платиноносность территории Верхнего Приамурья с выделением платиноносных металлогенических зон и рудно-rossыпных узлов. Определен состав минералов элементов платиновой группы в россыпях золота и коренных рудопроявлениях. Установлены перспективы попутной добычи платиноидов из россыпей золота.

**Ключевые слова:** платиноиды, россыпь, рудно-rossыпный узел, прогноз.

### ВВЕДЕНИЕ

С 1868 г. продолжается добыча золота из россыпей Верхнего Приамурья, при этом официально добыто около 800 т золота. В составе песков, кроме золота, нередко отмечались самородная платина, сперрилит, иридосмины и некоторые другие минералы элементов платиновой группы (ЭПГ). Но попутная добыча платиноидов по разным причинам не производилась вплоть до 2001 г., когда АмурКНИИ ДВО РАН попутно с золотом добыл из россыпей платиноносные концентраты, из которых на Красноярском аффинажном заводе было извлечено около 5 кг химически чистых ЭПГ. В связи с этим встает ряд вопросов: насколько широко развиты платиноиды в россыпях золота, в какой минеральной форме они находятся и в каком количестве, каковы перспективы и возможные масштабы их попутной добычи?

### ПЛАТИНОНОСНОСТЬ ВЕРХНЕГО ПРИАМУРЬЯ

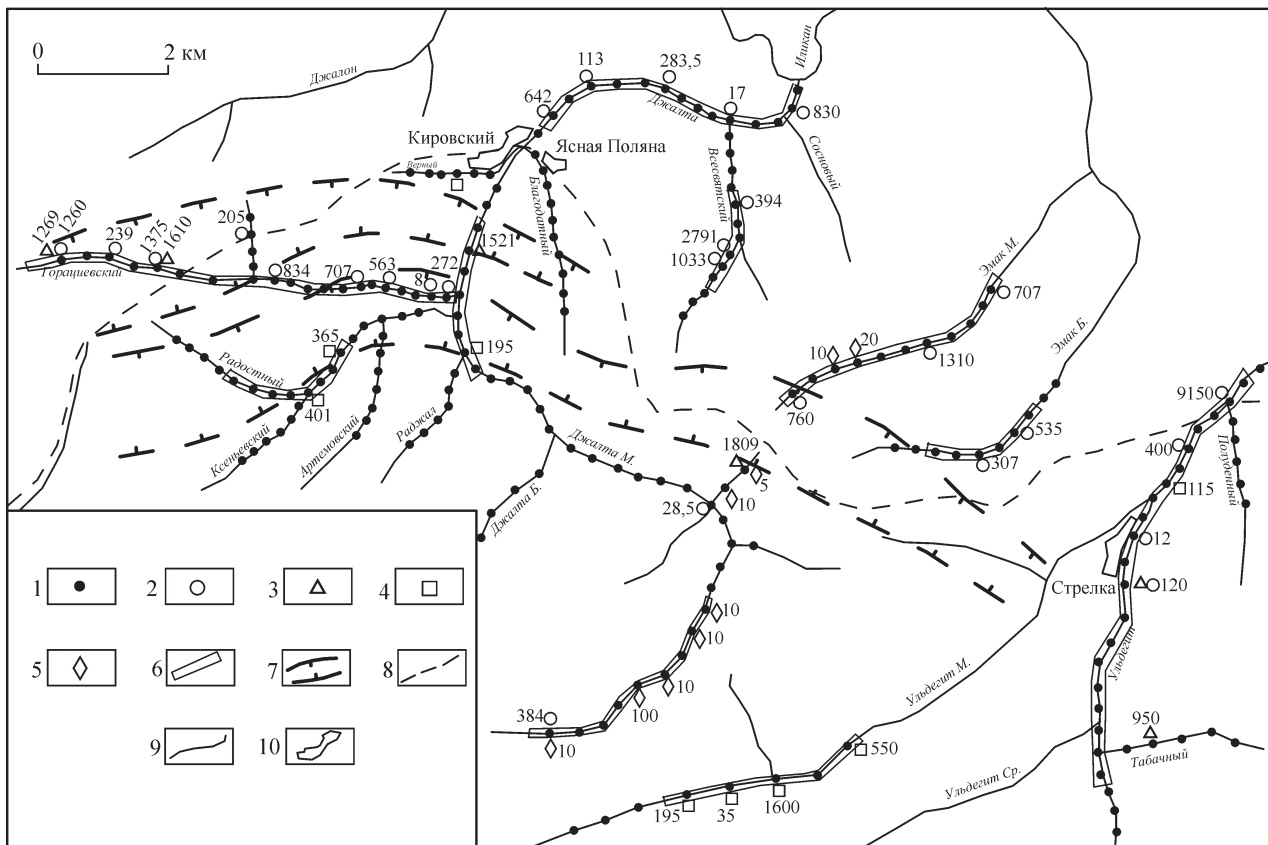
Первые сведения о рудной и россыпной платиноносности Амурской области были получены в начале XX в. (Я. А. Макеров, Б. П. Мишин, К. В. Гроховский и др.). Далее до середины XX в. платиноиды находили в небольших количествах в россыпях и редких рудопроявлениях (А. И. Хлапонин, С. И. Набоко, Б. А. Рухин и др.). В течение последующих лет работы на платину велись главным образом в пределах Лукиндинского гипербазитового массива, расположенного в верховьях р. Ольдой (П. А. Сушкин, В. И. Арефьев, И. С. Чанышев, С. А. Щека и др.). В его пределах выявлены зоны вкрапленной медно-никелевой минерализации с убогим содержанием платины.

С начала 80-х гг. прошлого века проблемой платиноносности россыпей золота Верхнего

Приамурья занимается коллектив АмурКНИИ ДВО РАН. В Дамбукинском, Сугджарском и Гарьском рудно-rossыпных узлах сотрудниками института были отобраны крупнообъемные пробы (масса каждой не менее 500 кг). Из проб выделялся коллективный концентрат тяжелых минералов с определением в нем как свободных минералов ЭПГ, так и примеси ЭПГ в других минералах. Было установлено, что содержание платины в коллективном концентрате из россыпей золота Дамбукинского узла достигало 72, а палладия до 200 г/т. Максимальные их количества отмечались в бассейне р. Ульдегит. В дражных концентратах золотодобычи по рр. Могот, Большой и Малый Ульдегит, Уган и ряде других отмечались весовые (десятки и первые сотни мг/м<sup>3</sup>) содержания самородной платины и сперрилита (В. Г. Моисеенко и др., 1984 г.).

### ПЛАТИНОНОСНЫЕ ЗОНЫ И РУДНО-РОССЫПНЫЕ УЗЛЫ

Как следует из составленного нами кадастра проявлений платиновой минерализации (А. В. Мельников, В. А. Степанов, 2002 г.), на территории Амурской области к началу XXI в. выявлено более 300 проявлений платиновой минерализации (рис. 1). Они распространены неравномерно в полосе субширотного простирания, являющейся Приамурской ветвию выделенного Д. А. Додиным Алтае-Амурского платиноносного пояса (Додин и др., 2000). В геологическом отношении это сложно построенная зона по зднемезозойской коллизии древних структур Алдано-Станового геоблока с севера и Керулено-Аргунно-Мамыннского с юга с зажатым между ними клиновидным блоком Монголо-Охотской складчатой области. На этой территории нами выделены три платиноносные металлогенические зоны: Дамбукино-Тындинская, Джаг-



Карта платиноносности россыпей в бассейнах рр. Джалта и Ульдегит: 1 – места отбора шлиховых проб; 2–4 – платиноиды в шлиховых пробах и их содержание, мг/м<sup>3</sup>; 2 – самородная платина, 3 – осмий-иридий-рутениевые минералы, 4 – сперриллит; 5 – содержание платины в электромагнитной фракции шлихов, г/т; 6 – прогнозируемые россыпепроявления платины; 7 – границы платиноносных минерализованных зон; 8 – автодорога Зея – Береговой; 9 – водотоки; 10 – населенные пункты

Schematized Map. Platinum minerals in the Jalta and Ul'degit River areas: 1 – sampling sites; 2–4 – sampled platinoid content in mg/m<sup>3</sup>: 2 – native platinum, 3 – osmium-iridium-ruthenium minerals, 4 – sperrylite; 5 – platinum content of an electromagnetic sample fraction in g/t; 6 – predicted gold placers; 7 – the limits of platinum-bearing mineralized occurrences; 8 – Zeya – Beregovoi highway; 9 – water streams; 10 – populated areas

ды-Селемджинская и Северо-Буреинская, а в их пределах ряд потенциально платиноносных рудно-россыпных узлов. За пределами зон в юго-восточной части Амурской области располагается Архаринский узел.

#### Дамбукино-Тындинская зона

Дамбукино-Тындинская зона протягивается на 800 км в субширотном направлении вдоль южной окраины Алдано-Станового геоблока. Здесь широко развиты метаморфические комплексы пород от раннего архея до протерозоя, представленные гнейсами, кристаллосланцами и амфиболитами с прослоями мраморов и железистых кварцитов. Они прорваны многочисленными, преимущественно мелкими интрузиями базитов и гипербазитов докембрийского возраста. В их составе преобладают дуниты, перidotиты, пироксениты, габбро, габронориты, габбро-амфиболиты и горнбледиты. К крупным интрузиям относятся Каларский анортозитовый массив, занимающий сотни квадрат-

ных километров на крайнем западном фланге зоны, а также меньшего размера Лукиндинский гипербазитовый массив площадью в несколько десятков квадратных километров. Мезозойская тектономагматическая активизация привела к внедрению серии интрузий гранитоидов среднепозднеюрского возраста вдоль северной окраины металлогенической зоны. Там же располагается ряд небольших по площади полей вулканитов раннего мела.

В пределах Дамбукино-Тындинской зоны выделено восемь платиноносных рудно-россыпных узлов: Каларский, Лапринский, Лукиндинский, Соловьевский, Брянтинский, Дамбукинский, Сугджанский и Верхнемайский. Их отличительной чертой является метаморфический субстрат и широкое развитие интрузий базит-гипербазитового состава. В пределах каждого из узлов отмечаются, как правило, проявления и рудной, и россыпной минерализации. Исключение составляют Каларский узел, в котором выявлены только проявления рудной минера-

лизации, и Лапринский с преимущественно россыпной минерализацией.

Рудные проявления представлены в большинстве случаев зонами вкрапленной медно-никелевой сульфидной минерализации в интрузиях базитов и гипербазитов, а также в амфиболитах. Часть их выявлена в коренном залегании и опробована бороздами, но большинство представлено обломками оруденелых пород в делювии и опробовано штуфами. Содержание платиноидов, среди которых преобладают платина и палладий, редко превышает 1 г/т. Из рудных минералов наиболее часто отмечаются пирротин, халькопирит и пентландит. Значительная часть проявлений представлена минерализованными амфиболитами, роль которых в локализации платиносодержащего медно-никелевого оруденения ранее недооценивалась. Широко проявлено платиносодержащее медно-никелевое оруденение в пределах двух узлов – Лукиндинского и Дамбукинского. В Лукиндинском узле оно представлено зонами вкрапленной и прожилково-вкрапленной медно-никелевой минерализации в южной части Лукиндинского массива гипербазитов. Содержание платины в отдельных пробах достигает 1–4 г/т. Из минералов ЭПГ в рудах установлены сперрилит и самородная платина. В Дамбукинском узле обнаружены в делювии обломки массивных медно-никелевых руд с содержанием платины до 8 и палладия до 40 г/т. В рудах выявлен минерал палладия – котульскит (Степанов, 2000).

Другими, менее распространенными коренными источниками поступления минералов ЭПГ в россыпи служат месторождения золота (Бамское, Березитовое, Покровское, Колчеданный Утес), содержащие платину и палладий в количестве до 1–10 г/т (Лапринский, Соловьевский, Улунгинский и Верхнемайский узлы). Следует отметить также повышенные содержания платины в скарновых железорудных месторождениях, а также в рудопроявлениях медноколчеданных руд (Соловьевский узел).

Россыпные проявления платиноидов наиболее широко распространены в Лапринском, Дамбукинском, Лукиндинском, Соловьевском и Брянтинском узлах. Из минералов ЭПГ в россыпях золота встречаются самородная платина и сперрилит, наряду с ними иногда отмечаются иридосмины (Дамбукинский и Соловьевский узлы). Кроме того, в шлиховых концентратах нередко устанавливаются высокие содержания платины и реже палладия, достигающие первых сотен г/т (Дамбукинский и Сугджарский узлы) (В. Г. Моисеенко и др., 1984 г.). Определенный, но скорее генетический, чем чисто практический интерес представляют высокие со-

держания платины, иногда палладия в самородном золоте. Они достигают 1–5, иногда 200 г/т (Дамбукинский, Сугджарский, Лукиндинский и Соловьевский узлы). При разведке некоторых россыпей золота установлены весовые содержания сперрилита до 35, а платины до 14 мг/т (Дамбукинский узел). При отработке россыпей иногда намывалось небольшое количество (1–10 г) платины (Лукиндинский узел, косы р. Гилюй). По устным сообщениям старателей, на небольшом прииске долины р. Малая Джала со содержание платины достигало 10% от массы намываемого золота (Дамбукинский узел). Наибольший интерес для попутной добычи платины представляют россыпи золота Дамбукинского узла.

### **Дамбукинский узел**

Дамбукинский узел – треугольной формы выступ архейского фундамента Алдано-Станового геоблока. Он сложен породами дамбукинской серии раннего архея, представленными двупироксен-амфиболовыми кристаллическими сланцами, а также биотитовыми, гранат-биотитовыми, нередко графитистыми гнейсами с прослоями амфиболитов. Широко развиты мелкие интрузии габброидов и гипербазитов позднего архея и раннего протерозоя. В пределах узла известны многочисленные богатые россыпи золота. Коренные рудопроявления и мелкие месторождения золота представлены преимущественно кварцево-жильным типом малосульфидной формации (Золотая Гора и др.). В пределах узла в начале XXI в. были выявлены рудопроявления платиносодержащих медно-никелевых массивных, прожилково-вкрапленных и вкрапленных руд (Степанов и др., 2002).

Нами произведена оценка платиноносности россыпей золота. В результате шлихового опробования в долинах рр. Большие Дамбуки, Малые Дамбуки, Худачи, Малый Могот, Большой Ульдегит, Малый Ульдегит, Средний Ульдегит, Джала, руч. Горациевский, Радостный, Покосный, Всесяятский, Большой и Малый Эмак и др. были обнаружены минералы ЭПГ (сперрилит, самородная платина и осмий-иридиум-рутениевые минералы). Содержания их достигали промышленных величин (см. рисунок, табл. 1). Размер зерен платины колеблется от 0,2 до 2 мм (в среднем 1,0 мм), осмий-иридиум-рутениевых минералов от 0,3 до 2,5 мм (в среднем 1,2 мм), сперрилита от 0,05 до 0,75 мм (в среднем 0,4 мм). Состав минералов ЭПГ проанализирован на микроспектральном микроанализаторе JSM-35C. Сперрилит имеет наиболее постоянные соотношения основных компонентов – Pt и As, отклонения от стехиометрии не превышают 1 ат.%. Примеси в нем практически отсутствуют.

**Таблица 1. Платиноиды в шликах бассейна рр. Джапта и Ульдегит**  
**Table 1. Description of platinum minerals from the Jalta and Uldegit River areas**

| № пробы           | Платиноид                                   | Размер зерен, мм | Масса, мг | Форма, цвет   |
|-------------------|---|------------------|-----------|---|
| 1                 | 2   | 3                | 4         | 5   |
| руч. Горациевский |   |                  |           |   |
| 99723             | Платина                                     | 1,2×1,2          | 4,47      | Изометрическое полуокатанное зерно серебристо-белого цвета с неправильными границами и тонкой вкрапленностью нерудного минерала |
| 99725             | Платина                                     | 0,9×1,0          | 5,63      | Кубический кристалл стально-серого цвета  |
| 99728             | Платина                                     | 0,3×0,4          | 0,08      | Тетрагональный кристалл серебристо-белого цвета   |
| 99729             | Платина                                     | 0,55×1           | 2,72      | Обломок серого цвета с вкрапленностью рудного черного минерала  |
| 99776             | Платина                                     | 0,8×0,8; 1,1×0,5 | 8,34      | Комковидные окатанные обломки серого цвета с бронзовым отливом  |
| 99782             | Изоферроплатина                             | 0,9×1,25         | 13,75     | Округло-комковатое зерно стально-серого цвета с микроямчатой поверхностью   |
|                   | Иридосмин                                   | 0,3×0,5; 0,5×0,8 | 16,1      | Комковатые зерна стально-серого цвета   |
| 99784             | Платина                                     | 0,5×0,9; 1,2×1,7 | 15,91     | Округлые, комковатые зерна, иногда с микроямчатой поверхностью. Цвет стально-серый с металлическим блеском                      |
| 99785             | Платина                                     | 0,8×1,5          | 12,6      | Обломок серебристо-белого цвета неправильной формы  |
|                   | Иридосмин, рутениридосмин, самородный осмий | 0,5×0,8; 0,6×1   | 12,69     | Гексагональные пластинки серебристо-белого цвета  |
| 99703             | Сперрилит                                   | 0,05×0,05        | 0,005     | руч. Верный<br>р. Радостный<br>р. Джапта  |
| 99842             | Сперрилит                                   | 0,55×0,75        | 4,01      | Кристаллы неправильной формы стально-серого цвета   |
| 99845             | Сперрилит                                   | 0,6×0,7          | 3,65      | Кристаллы неправильной формы стально-серого цвета   |
| 99719             | Иридий-осмий-рутений                        | 2×1,25           | 15,21     | Гексагональная пластинка, с одной стороны нарастает другая из трех пластинок  |
| 99742             | Платина                                     | 1,5              | 6,42      | Окатанное сплющенное трехгранное зерно стально-серого цвета   |
| 99746             | Платина                                     | 0,6×1,2          | 41,3      | Окатанный обломок с ямчатой поверхностью. Цвет серый с бронзовым отливом  |
| 99750             | Платина                                     | 0,6              | 2,835     | Стально-серый обломок неправильной формы с металлическим блеском  |
| 99753             | Платина                                     | 0,2×0,25         | 0,17      | Ковкое темно-серое зерно  |
| 99756             | Платина                                     | 1,25×1,6         | 8,3       | Полуокатанныйросток кристаллов с гладкой плосцадкой в форме треугольника. Цвет темно-серый                                      |
| 99833             | Сперрилит                                   | 0,35×0,5         | 1,95      | Кристаллы неправильной формы стально-серого цвета   |
| 99786             | Тетраферроплатина                           | 0,8×0,9          | 1,84      | р. Малая Джапта<br>Угловатый обломок стально-серого цвета с металлическим блеском   |

Окончание табл. 1

| 1       | 2                                       | 3                   | 4      | 5  |
|---------|---|---------------------|--------|--|
| 99800   | Тетраферроплатина                       | 0,25×0,5            | 0,285  | Удлинённо-к омковатый обломок стально-чёрного цвета  |
| 99802   | Рутенириодосмин                         | 2,5×1,1             | 18,095 | Окаганн ая лепешка темно-серого цвета с металлическим блеском  |
| 99763   | Платина                                 | 1,0×0,75            | 3,94   | Окаганное лепешковидное зерно темно-серого цвета с металлическим блеском                               |
| 99766   | Платина                                 | 2×1; 1,75×1 сростки | 27,91  | —  |
| 99767   | Платина                                 | 1,5×1,25            | 10,33  | —  |
| 99734/2 | Платина                                 | 1×1                 | 3,07   | Окаганный обломок серого цвета с бронзовым отливом   |
| 99736/2 | Платина                                 | 0,9×0,9             | 5,35   | Зерно неправильной формы с гексагональной площацкой на одной из сторон. Цвет серый с бронзовым отливом |
| 99750/2 | Платина                                 | 1,0                 | 7,6    | Стально-серое комковатое зерно с металлическим блеском   |
| 99753/2 | Сростки платины с Ir-Os-Ru<br>Минералом |                     | 9,43   | Темно-серый сросток кристаллов с металлическим блеском   |
| 99756/2 | Платина                                 | 0,9×1; 1,1×1,5      | 13,1   | Окаганные кристаллы с ямчатой поверхностью оловянно-белого цвета                                       |
| 99760/2 | Платина                                 | 1×1,75              | 7,07   | Окаганный обломок неправильной формы стально-серого цвета  |
| 99780   | Изоферараплатина                        | 0,65×0,5            | 2,05   | Дорожный<br>р. Ульдегит<br>Комковатое окатанное зерно стально-серого цвета                             |
| 99862/2 | Спериллит                               | 0,2×0,3             | 0,195  | Осколки оловянного цвета с сильным металлическим блеском   |
| 99863/2 | Спериллит                               | 0,1×0,25            | 0,35   | Осколки кристаллов   |
| 99864/2 | Спериллит                               | 0,6×0,6             | 1,6    | Осколки кристаллов   |
| 99866/2 | Спериллит                               | 0,1×0,2             | 0,55   | Три окатанных осколка кристаллов оловянно-белого цвета   |
| 99808   | Спериллит                               | 0,3×0,6             | 0,115  | р. Ульдегит<br>Полукатанный кристалл   |
| 99810   | Платина                                 | 1,2×1,5             | 9,15   | Кубической формы кристалл с округлыми краями. Цвет соломенно-жёлтый                                    |
| 99813   | Платина                                 | 0,5×0,7             | 0,4    | Пластинки стально-серого цвета   |
| 99784/2 | Платина                                 | 0,35×0,35           | 0,12   | —  |
| 99782/2 | Платина                                 | 0,05                | 0,012  | —  |

*Примечание.* Минералоги Л. И. Рогулина, Н. С. Санилевич, Л. И. Козак, АмуркНИИ.

**Таблица 2. Химический состав платиновых минералов в россыпях золота бассейна рр. Джалта и Ульдегит, мас. %**  
**Table 2. Chemical composition of platinum minerals from gold placers in the Jalta and Uldegit River areas (mass %)**

| № пробы                              | Минерал           | Os    | Ir    | Pt    | Ru    | Rh   | Pd   | Ag   | Fe    | Ni   | Cu   | As   | Сумма  |
|--------------------------------------|-------------------|-------|-------|-------|-------|------|------|------|-------|------|------|------|--------|
| Группа платиново-железистые минералы |                   |       |       |       |       |      |      |      |       |      |      |      |        |
| 99800                                | Тетраферроплатина | 0,95  | 0,95  | 82,89 | —     | 0,15 | 0,66 | —    | 12,76 | 0,63 | 1,24 | —    | 99,34  |
| 99739/2                              | Тетраферроплатина | 0,09  | 5,88  | 77,22 | 0,31  | 0,52 | 0,23 | —    | 12,76 | 0,29 | 0,23 | —    | 97,59  |
| 99786                                | Тетраферроплатина | 0,07  | 5,40  | 77,80 | 0,25  | 0,47 | 0,14 | —    | 13,4  | 0,30 | 0,27 | —    | 98,10  |
| 99782                                | Изоферроплатина   | 0,40  | 0,82  | 84,70 | 0,90  | 0,76 | —    | 0,04 | 8,79  | 0,10 | 0,65 | —    | 97,13  |
| 99776                                | Изоферроплатина   | 0,79  | 0,91  | 83,98 | 0,94  | 0,74 | 0,66 | 0,03 | 8,98  | 0,12 | 0,66 | —    | 97,81  |
| 99780                                | Изоферроплатина   | 2,92  | 2,92  | 78,05 | 0,60  | 2,80 | 0,65 | —    | 8,95  | 0,30 | 1,4  | —    | 98,56  |
| Осмий-иридий-рутениевые минералы     |                   |       |       |       |       |      |      |      |       |      |      |      |        |
| 99782                                | Осмий             | 83,45 | 8,07  | 0,42  | 4,19  | 0,79 | 0,09 | 0,06 | 0,12  | 0,6  | 0,69 | —    | 98,48  |
| 99782                                | Иридосмин         | 78,28 | 12,46 | 0,83  | 3,15  | 0,87 | 0,07 | 0,08 | 0,94  | 0,28 | 0,56 | —    | 97,52  |
| 99780/2                              | Рутениридосмин    | 51,36 | 33,04 | 0,35  | 10,89 | —    | —    | —    | 1,09  | 0,24 | 1,03 | —    | 98,03  |
| 99785                                | Рутениридосмин    | 51,04 | 16,4  | 0,46  | 30,90 | —    | —    | —    | 1,86  | 0,49 | 0,65 | —    | 101,80 |
| 99785                                | Рутениридосмин    | 74,45 | 10,10 | 1,85  | 12,33 | —    | —    | —    | 0,19  | 0,21 | 0,09 | —    | 99,13  |
| 99782                                | Рутениридосмин    | 76,02 | 10,46 | 0,73  | 12,12 | —    | —    | —    | 0,1   | —    | 0,23 | 0,45 | 101,11 |
| 99802                                | Рутениридосмин    | 72,27 | 13,32 | 0,6   | 14,02 | —    | —    | —    | 0,21  | ФОН  | 1,18 | 0,3  | 101,90 |
| 99786                                | Осмиридий         | 19,03 | 67,36 | 7,43  | 7,06  | —    | —    | —    | 0,21  | 0,11 | 0,25 | —    | 101,45 |
| 99739/2                              | Осмиридий         | 18,19 | 65,33 | 8,53  | 7,51  | —    | —    | —    | 0,6   | 0,1  | 0,34 | 0,91 | 101,42 |

*Примечание. Анализы выполнены на рентгеноспектральном микронализаторе JSM-35C Jeol, использовались L и M серии излучений. Аналитик В. И. Палажченко, АмурКНИИ.*

Состав других минералов ЭПГ отражен в табл. 2, из которой следует, что платина представлена железистыми минеральными видами – изоферроплатиной и тетраферроплатиной, а осмий-иридий-рутениевые минералы идентифицированы как самородный осмий, иридосмин, рутениридосмин и осмиридий. Для обеих групп минералов характерна примесь меди и никеля.

Кроме того, были произведены минералогический и спектральный анализ электромагнитной фракции шлихов (табл. 3, 4). В состав электромагнитной фракции шлихов входят в основном гранат, амфибол и ильменит, реже эпидот, хромит и некоторые другие минералы. Содержание платины достигает 100 г/т, палладия в одном из шлихов составляет 1 г/т. В шлихах наблюдается повышенное содержание титана и железа. Эти данные свидетельствуют о том, что, кроме самостоятельных минеральных форм, платина и отчасти палладий находятся в рассеянном состоянии в других минералах, скорее всего, в ильмените.

По результатам исследований бассейн рр. Джалта и Ульдегит выделен как весьма перспективный на попутное извлечение платиноидов из россыпей золота. При проведении прогнозной оценки россыпной платинносности определялось содержание в россыпях как самостоятельных минералов, так и наличие рассеянных ЭПГ в других минералах. По этим признакам выделены россыпепроявления платины в долинах рр. Джалта, Большой и Малый Эмак, руч. Горациевский и Всесяятский, сперрилита – р. Малый Ульдегит, руч. Радостный, а также рассеянных ЭПГ – россыпепроявления р. Ульдегит и Малая Джалта. Особый интерес для попутной добычи платиноидов из золотоносной россыпи представляет отрезок р. Джалта в приусьевой части руч. Горациевский, где в настоящее время работает драга прииска «Дамбуки». Долина р. Джалта на этом отрезке размывает выявленные нами платиноносные зоны. Кроме того, в приусьевой части руч. Горациевский возможен дополнительный привнос платиновых минералов из долины этого ручья.

**Таблица 3. Результаты минералогического анализа электромагнитной фракции шлиховых проб**  
**Table 3. Electromagnetic fraction mineral analysis**

| № пробы | Привязка          | Минеральный состав  |
|---------|-------------------|---|
| 99786   | р. Малая Джала    | Гранат – 44, амфибол+пироксен – 30, ильменит – 20, эпидот – 5, пирит, марказит – 1, циркон – ез, монацит – зн, шеелит – зн, хромит – зн       |
| 99790   |                   | Гранат – 50, амфибол – 24, ильменит – 20, эпидот – 3, пироксен – 3, монацит – зн  |
| 99791   |                   | Гранат – 58, амфибол – 16, ильменит – 13, монацит – 10, эпидот – 3  |
| 99793   |                   | Гранат – 50, амфибол – 30, ильменит – 16, эпидот – 4  |
| 99752/2 | руч. Малый Эмак   | Амфибол – 39, ильменит – 34, гранат – 23, эпидот – 3, мартит – 1, монацит – зн, циркон – зн, рутил – зн, лимонит – зн, сфен – зн, хромит – зн |
| 99753/2 |                   | Амфибол – 44, ильменит – 29, гранат – 23, эпидот – 4, мартит – зн, циркон – зн, лимонит – зн, сфен – зн                                       |
| 99801   | руч. Покосный     | Гранат – 46, амфибол+пироксен – 30, ильменит – 20, эпидот – 4   |
| 99802   |                   | Гранат – 63, амфибол – 26, ильменит – 10, хромит – зн, эпидот – зн, марказит – зн   |
| 99772   | руч. Горациевский | Амфибол – 55, ильменит – 35, гранат – 5, эпидот – 4, циркон – <1, монацит – <1, ортит – зн, сфен – зн   |

Примечание. ез – единичные знаки, не более 10; зн – более 10 знаков, но меньше 100 мг. Описание платиноидов приведено в табл. 2. Минералог Л. И. Козак, АмурКНИИ.

**Таблица 4. Результаты спектрального анализа электромагнитной фракции шлиховых проб**  
**Table 4. Electromagnetic fraction semiquantitative spectrum analysis**

| Элементы | р. Малая Джала |       |       |       |       | руч. Малый Эмак |         |       |       |       | руч. Покосный |  | руч. Горациевский |  |  |
|----------|----------------|-------|-------|-------|-------|-----------------|---------|-------|-------|-------|---------------|--|-------------------|--|--|
|          | № пробы        |       |       |       |       |                 |         |       |       |       |               |  |                   |  |  |
|          | 99790          | 99791 | 99792 | 99793 | 99786 | 99752/2         | 99753/2 | 99801 | 99802 | 99772 |               |  |                   |  |  |
| Pt       | 100            | <10?  | 10    | 10    | 10    | <10             | 20      | 10    | 5     | 20    |               |  |                   |  |  |
| Pd       | 1              | –     | –     | –     | –     | –               | –       | –     | –     | –     |               |  |                   |  |  |
| Pb       | 30             | 10    | 5     | 7     | 17    | 30              | 30      | 10    | 7     | 7     |               |  |                   |  |  |
| Sn       | 4              | 4     | 3     | 1     | 7     | 5               | 4       | 2     | 1     | 2     |               |  |                   |  |  |
| Mo       | <10            | <10   | <10   | <10   | 10    | <10             | <10     | <10   | <10   | <10   |               |  |                   |  |  |
| Ag       | 0,07           | –     | –     | –     | –     | –               | –       | 0,2   | 0,1   | –     |               |  |                   |  |  |
| Cu       | 400            | 300   | 200   | 400   | 500   | 70              | 150     | 400   | 400   | 150   |               |  |                   |  |  |
| W        | 30             | 7     | –     | –     | 40    | –               | –       | –     | 7     | 7     |               |  |                   |  |  |
| Ni       | 300            | 500   | 70    | 300   | 700   | 100             | 80      | 80    | 80    | 150   |               |  |                   |  |  |
| Co       | 30             | 30    | 40    | 30    | 50    | 10              | 15      | 40    | 40    | 30    |               |  |                   |  |  |
| Cr       | 100            | 100   | 300   | 80    | 200   | 50              | 70      | 80    | 80    | 50    |               |  |                   |  |  |
| V        | 160            | 170   | 170   | 150   | 200   | 100             | 150     | 150   | 150   | 170   |               |  |                   |  |  |
| Mn       | 0,4            | 0,5   | 0,1   | 0,3   | 0,4   | 0,8             | 0,7     | 0,2   | 0,2   | 0,5   |               |  |                   |  |  |
| Ti       | 1              | 0,5   | 0,1   | 0,3   | 1,5   | 6               | 6       | 0,5   | 0,5   | ≥10   |               |  |                   |  |  |
| P        | –              | 500   | 500   | 500   | –     | –               | –       | 500   | –     | –     |               |  |                   |  |  |
| Ge       | 1              | 3     | 1,5   | 2     | 3     | –               | –       | 1,5   | 1     | –     |               |  |                   |  |  |
| Ga       | 7              | 7     | 10    | 7     | 15    | –               | –       | 10    | 10    | –     |               |  |                   |  |  |
| Zr       | 500            | 250   | 250   | 200   | 300   | 700             | 700     | 100   | 100   | 500   |               |  |                   |  |  |
| La       | 30             | –     | –     | –     | 70    | 150             | –       | –     | –     | –     |               |  |                   |  |  |
| Ce       | 100            | 70    | –     | –     | 150   | 150             | –       | –     | –     | –     |               |  |                   |  |  |
| Sc       | –              | –     | –     | –     | 5     | 3               | 3       | –     | –     | –     |               |  |                   |  |  |
| Nb       | 20             | 10    | 7     | 7     | 30    | 70              | 50      | 30    | 25    | 40    |               |  |                   |  |  |
| Al       | 0,7            | 1     | 1     | 0,7   | 1,5   | 0,3             | 0,2     | 1     | 1     | 0,1   |               |  |                   |  |  |
| Mg       | 0,3            | 0,5   | 1     | 0,5   | 0,5   | 200             | 150     | 0,5   | 0,3   | 100   |               |  |                   |  |  |
| Ca       | 0,3            | 0,7   | 1     | 1     | 1     | 80              | 40      | 1     | 1     | 0,1   |               |  |                   |  |  |
| Fe       | 7              | 5     | 4     | 3     | 7     | ≥10             | ≥10     | 5     | 3     | 10    |               |  |                   |  |  |
| Si       | 7              | 10    | 10    | 7     | 15    | 3               | 2       | 7     | 5     | 6     |               |  |                   |  |  |
| Na       | 1              | 1     | 1     | 1     | 3     | –               | –       | 1     | 2     | 150   |               |  |                   |  |  |

Примечание. Mn, Ti, Fe, Al, Mg, Ca, Si, Na – в %, остальные – в г/т. Аналитик Н. С. Ворошилова, АмурКНИИ.

### **Северо-Буреинская зона**

Северо-Буреинская металлогеническая зона протягивается на 500 км вдоль северной окраины Керулено-Аргунно-Мамынского геоблока. Она отличается сложным геологическим строением. Нижний структурный этаж представлен широко развитыми интрузивными образованиями палеозойского и раннемезозойского возраста. Отдельные блоки, а также останцы кровли и ксенолиты представлены гнейсами и кристаллическими сланцами позднего архея, а также зеленосланцевыми толщами протерозоя и раннего палеозоя. Верхний структурный ярус слагают терригенные осадки средне-позднеюрского возраста, вулканиты раннего мела, а также рыхлые осадки неоген-четвертичного возраста.

В Северо-Буреинской зоне выделены пять рудно-россыпных узлов: Осежинский, Улунгинский, Гарьский, Чагоянский и Орловский. В западной части металлогенической зоны (Осежинский и Улунгинский узлы) отмечаются россыпепроявления платины, реже сперрилита в аллювиальных отложениях рр. Осежина, Буринда, Улунга и др. Содержания платины и сперрилита редко достигают весовых количеств. Источником платины и сперрилита в этих узлах, скорее всего, служат месторождения и проявления золота. Например, в рудах Покровского золоторудного месторождения (Улунгинский узел) содержание платины достигает 1, палладия – 0,8, а осмия – 0,05 г/т (Степанов, 2002). Восточнее Улунгинского узла в песках прииска Болотова, расположенного на р. Зея, в начале XX в. отмечалась платина в количестве большем, чем золото.

В центральной части Северо-Буреинской металлогенической зоны среди сланцевых толщ протерозоя и терригенных пород средней юры расположены крупные тела альпинотипных гипербазитов. Здесь в россыпях золота часто встречаются иридосмины, рутениридосмины, реже самородная платина (Гарьский узел). Количество иридосминов при разведке россыпей достигало 15 мг/т, а по р. Гарь-1 составляло до 10% от массы намываемого золота. В самородном золоте из россыпей этого узла содержание платины достигает 280 г/т. В коренном залегании установлены невысокие содержания платины в серпентинитах Усть-Депского массива (до 0,3 г/т).

На восточном фланге Северо-Буреинской зоны самородная платина отмечалась в россыпях золота рр. Каменка, Татарка, руч. Золотой и др. Например, из россыпи р. Татарка (Орловский узел) наряду с золотом добывались циркон и платина. Убогая палладиевая минерализация наблюдается в габбро, а также в рудах Гарьского магнетитового месторождения (до 0,006 г/т).

### **Джагды-Селемджинская зона**

Джагды-Селемджинская металлогеническая зона приурочена к восточному флангу Амуро-

Охотской складчатой системы. Протяженность ее около 450 км. Здесь широко развиты терригенные, нередко черносланцевые и вулканогенно-осадочные толщи раннего и среднего палеозоя, метаморфизованные в фации зеленых сланцев, а также турбидитовые образования триасового и юрского возраста. Породы прорваны интрузиями габбро, габбродиоритов, диоритов, гранодиоритов и гранитов позднего палеозоя. На восточном фланге зоны они местами перекрыты эфузивами мелового возраста и прорваны небольшими интрузиями гранитоидов позднего мела.

В пределах металлогенической зоны выделены три рудно-россыпных узла: Унья-Бомский, Маломырский и Харгинский. На западном, амагматичном и наименее эродированном фланге зоны отмечаются находки самородной платины и сперрилита в россыпях золота (Унья-Бомский узел). Здесь же установлена примесь платины в самородном золоте до 50 г/т (Степанов, 2002). При разведке россыпи р. Бом в одном из шурfov наряду с золотом установлено 1,5 г платины. Кроме того, по устным сообщениям старательей, в долине р. Бом, на прииске Александра Невского в 1903 г. было добыто несколько фунтов платины. Трестом «Амурзолото» в 1934 г. в пределах того же прииска намыто 34 г сперрилита.

В восточной части металлогенической зоны, где широко развиты интрузивные образования, значительная примесь платины отмечается в рудах месторождений золота (Маломыр, Токур, Сагур, Ясное и др.). Содержание ее колеблется от 2–8 г/т в золото-сульфидных рудах (Маломыр) до 0,5 г/т в золото-кварцевых (Токур, Сагур и др.). Повышенные содержания платины наблюдаются также в самородном золоте указанных месторождений в количестве от 1 до 95 г/т (В. Г. Моисеенко и др., 1984 г.). В россыпях этой части металлогенической зоны отмечаются платина и сперрилит в количестве от знаков до весовых количеств. Кроме того, в черном шлихе, состоящем главным образом из ильменита и магнетита, содержание платины достигает, по данным спектрального анализа, 10 г/т (В. Г. Моисеенко и др., 1984 г.). На западном фланге Джагды-Селемджинской зоны в шлиховых пробах отмечается иридосмин.

Южнее Приамурской платиноносной ветви Алтае-Амурского пояса несколько обособленно располагается Архаринский платиноносный узел. Он приурочен к гранитоидным массивам позднего палеозоя, перекрытым местами покровами базальтов неоген-четвертичного возраста. В россыпях золота этого узла отмечаются самородная платина, сперрилит и осмистый иридий. Содержание самородной платины в россыпи р. Талакан, например, достигало 1,5 г/м<sup>3</sup>. Из коренных проявлений можно отметить сульфидизированную дайку биотит-роговообманкового габбро, в

которой платины содержится 0,1 г/т, титана – 1%, хрома – 0,1% и ванадия – 0,1% (А. И. Лобов и др., 1996 г.).

### **ЗАКЛЮЧЕНИЕ**

Обзор платиноносности Верхнего Приамурья показывает, что минералы ЭПГ достаточно широко распространены в россыпях золота. Они представлены самородной платиной, реже сперрилитом; в отдельных узлах широко распространены минералы осмия, иридия и рутения. В дальнейшем могут быть выявлены и другие минеральные формы платиноидов, такие как куперит, стибиопалладиниты, находки которых известны в россыпях золота других регионов Дальнего Востока. Кроме того, часть ЭПГ находится в рассеянном виде в других шлиховых минералах (ильменит).

Перечисленные минералы ЭПГ по удельному весу и устойчивости в условиях россыпей близки самородному золоту и могут быть извлечены из россыпей совместно с золотом обычными методами промывки песков. В отличие от них извлечение платиноидов, рассеянных в других минералах, потребует применения новых

рудно-россыпных технологий. Опыт АмурКНИИ показал, что попутная добыча платиноидов может значительно увеличить рентабельность отработки россыпей золота. В качестве первоочередных полигонов, пригодных для попутной добычи платиноидов, предлагаются россыпи золота Дамбукинского и Гарьского рудно-россыпных узлов.

Попутная добыча платиноидов из россыпей золота возможна и в других регионах Дальнего Востока.

### **ЛИТЕРАТУРА**

Додин Д. А., Чернышев Н. М., Яцкевич Б. А. Платинометальные месторождения России. – СПб. : Наука, 2000. – 755 с.

Степанов В. А. Геология золота, серебра и ртути. Ч. 2. Золото и ртуть Приамурской провинции. – Владивосток : Дальнаука, 2000. – 161 с.

Степанов В. А., Мельников А. В., Палажченко В. И. и др. Коренные источники платинометальных россыпепроявлений Дамбукинского района Верхнеамурской провинции // Тихоокеан. геол. – 2002. – Т. 24, № 4. – С. 69–78.

*Поступила в редакцию 17.03.2005 г.*

## **POSSIBLE PRODUCTION OF PLATINOID MINERALS FROM GOLD PLACERS IN THE HEADWATERS AREAS OF THE AMUR RIVER (RUSSIA)**

*V. A. Stepanov, A. V. Melnikov*

The presence of platinoid minerals is examined over the headwaters areas of the Amur River, and platinum-bearing metallogenic zones and lode-placer areas are established there. The composition of platinum minerals is determined for both the gold placer and lode deposits. The prospects of extracting platinoid by-products from gold placers are studied.

**Key words:** platinoid minerals, placer deposit, lode-placer area, prediction.